

دوبیست سال بازسازی حلقه‌درختی دمای حداکثر در کلیک نوشهر

مهدى نادى^۱، جواد بذرافشان^{۲*}، کامبیز پور طهماسى^۳ و آخيم براونينگ^۴

۱. دکتری هواشناسی کشاورزی، پردیس کشاورزی و منابع طبیعی دانشگاه تهران، دانشکده مهندسی و فناوری کشاورزی،

گروه آبیاری و آبادانی، بخش هواشناسی کشاورزی

۲. استادیار، پردیس کشاورزی و منابع طبیعی دانشگاه تهران، دانشکده مهندسی و فناوری کشاورزی، گروه آبیاری و آبادانی، بخش هواشناسی کشاورزی

۳. دانشیار، پردیس کشاورزی و منابع طبیعی دانشگاه تهران، دانشکده منابع طبیعی، گروه علوم و صنایع چوب و کاغذ

۴. عضو هیئت علمی گروه جغرافیای دانشگاه ارلانگن- نورنبرگ

(تاریخ دریافت: ۱۳۹۳/۱۲/۱۱ - تاریخ تصویب: ۱۳۹۴/۵/۶)

چکیده

یکی از روش‌های بازسازی متغیرهای اقلیمی، بهویژه دما، استفاده از گاهشناسی درختی (عرض حلقه‌های درختان) است. تاکنون تحقیقی در زمینه بازسازی درازمدت دما در اکوسیستم خزری انجام نشده است. تحقیق حاضر با استفاده از گاهشناسی درختان راش ارتفاعات نوشهر به بازسازی دما پرداخته است. برای این منظور، همبستگی حلقه‌های سالانه درختان با متغیرهای هواشناسی ایستگاهی و جهانی بررسی شد. تحلیل همبستگی نشان داد که کاهش دمای حداکثر در دوره رشد عامل محدودکننده رشد درختان است. بنابراین، متوسط دمای حداکثر مارس- سپتامبر ایستگاه هواشناسی نوشهر بازسازی شد. نتایج بازسازی دما نشان داد که در دو قرن گذشته، در این منطقه سال‌های بسیار سرد بیش از سال‌های بسیار گرم بوده است. همچنین، دهه اول قرن بیست و سال‌های ۱۹۵۰-۱۹۷۰ گرمترین و دهه ۱۸۳۰ و سال‌های ۱۹۳۰-۱۹۵۰ سردترین دوره‌ها بوده‌اند. به علاوه، تأثیر معنادار فاز منفی NAO در ماه‌های ابتدایی رشد بر افزایش دما مشخص شد. دماهای بازسازی شده در این تحقیق مشابه تحقیقات انجام شده در شرق مدیترانه، روند جهانی افزایش دما در سال‌های اخیر را نشان نداد.

کلید واژگان: بازسازی دما، حلقه‌های درخت، راش، نوشهر، NAO.

.(2005, 2006, 2011; Coppola *et al.*, 2013; IPCC, 2007

مقدمه

تحلیل تغییرات درازمدت دما در منطقه نیازمند دسترسی به داده‌های تاریخی طولانی‌مدت است. متأسفانه در ایران دوره آمارگیری مطمئن داده‌های هواشناسی ایستگاهی به جز چند ایستگاه هواشناسی محدود، حداکثر به ۱۳۶۰ سال می‌رسد، در حالی که برای درک نوسان‌های درازمدت دما این طول دوره آماری ناکافی به نظر می‌رسد. یکی از راههای نسبتاً مطمئن برای طولانی‌ساختن داده‌ای هواشناسی استفاده از علم اقلیم‌شناسی درختی^۱ است. این علم با اندازه‌گیری حلقه‌های سالانه درختان حساس به شرایط آب و هوایی منطقه، مؤثرترین متغیرهای آب و هوایی بر رشد درختان را شناسایی می‌کند و در نهایت، به بازسازی متغیر هواشناسی تأثیرگذار بر رشد درختان در دوره آماری حلقه‌های موجود می‌پردازد (Fritts, 1976).

در ایران بیشتر مطالعات در علم اقلیم‌شناسی درختی

درک نوسان‌های دما در منطقه اهمیت زیادی در ریسک سلامت انسان، ریسک تولیدات کشاورزی و منابع طبیعی دارد. تغییرات درازمدت دما علاوه بر تأثیر بر سایر مؤلفه‌های هواشناسی و جا به جایی طبقات اقلیمی منطقه، اثر بسزایی بر سیستم‌های بیولوژیکی دارد، به طوری که در بعضی اکوسیستم‌ها سبب رشد سریع تر گونه‌ها و در بعضی دیگر، موجب انقراض گونه‌ها شده است (Rahimi *et al.*, 2013). از طرف دیگر، امروزه با توجه به گزارش‌های مختلف هیئت بین‌الدول تغییر اقلیم از گرم شدن کره زمین در دهه‌های اخیر و نیز یافته‌های محققان در نقاط مختلف جهان از وقوع دماهای بی‌سابقه در دهه اخیر در مقایسه با دماهای هزاره قبل، اهمیت بررسی نوسان‌های درازمدت دما دو چندان شده است (Zhang *et al.*, 2014; Büntgen *et al.*, 2014).

* نویسنده مسئول: jbazr@ut.ac.ir

فلات تبت در ۱۰۰۰ سال گذشته را قرن سیزدهم و سرديرين دوره را بین سال های ۱۰۰۰ تا ۱۲۰۰ معرفی کردند. Zhang *et al.* (2014) نیز با استفاده از گیاهشناسی درختان ارس کوهستان کیلیان دمای حداقل را در شمال شرق فلات تبت بازسازی کردند و دریافتند که از سال ۶۷۰ میلادی تاکنون سرديرين دوره طی سال های ۱۸۸۰-۱۶۹۰ و گرمترین دوره در ۵۰ سال اخیر به وقوع پيوسته است.

مطالعات بازسازی حلقه درختی دما در اروپا اغلب در رویشگاه های موجود در رشته کوه های آلپ به انجام رسیده است. برای مثال، Büntgen *et al.* (2011) به منظور درک تغیيرات آب و هوایی مرکز اروپا در اوخر دوره هولوسن دمای ۲۵۰۰ سال قبل در منطقه کوه های آلپ را بازسازی کردند و دریافتند که دوره مهاجرت در اروپا (بین سال های ۲۵۰ تا ۵۵۰ میلادی) که در آن نابسامانی های سیاسی، اجتماعی و اقتصادی زیادی به وجود آمد، مقارن با نوسان های شدید و استثنایی تغیيرات Büntgen *et al.* (2006) برای درک تغیيرات آب و هوایی دوره گرم قرون وسطی و عصر یخبندان کوچک اروپا با استفاده از گاهشناسی دانسته درختان کاج در سوئیس به بازسازی دما در دوره ۷۵۵-۲۰۰۴ میلادی پرداختند. نتایج ایشان شباهت دوره های گرم قرن دهم و سیزدهم میلادی را با قرن بیستم نشان می دهد. همچنین، پس از قرن سیزدهم، به مدت چهار قرن، یک دوره سرد مدام و طولانی به وقوع پيوست. ایشان همچنین، بیان کردند که از ده مورد از گرم ترین دهه های بازسازی، شش مورد در قرن بیستم به وقوع پيوسته است.

Büntgen *et al.* (2005) در کوه های آلپ واقع در شرق سوئیس، دما را بازسازی کردند. نتایج مطالعه ایشان نشان داد که از اوایل هزاره قبلی تا سال ۱۳۵۰ (که به دوره گرمایش قرون وسطی معروف است) دمای هوا افزایشی بوده و پس از آن تا سال ۱۸۵۰ عصر یخبندان کوچک به وقوع پيوسته و دما در اين دوره کاهش یافته است. پس از آن تا عصر کنونی دما در یک سیر صعودی قرار دارد. همچنین ایشان بیان کردند که افزایش دما طی دهه گذشته در مقایسه با میانگین ۱۰۰۰ ساله بی سابقه بوده است. نتایج بازسازی دمای تابستان در یکی از بزرگ ترین مناطق کوهستانی یخچالی ایتالیا را Coppola *et al.* (2013) در عصر یخبندان کوچک و سال های ۱۸۱۳، ۱۸۱۶، ۱۸۲۱ را سرديرين سال های قرن ۱۹ عنوان کردند. همچنین، نتایج ایشان افزایش دماهای تابستان طی دهه های اخیر (پس از ۱۹۷۰) را به خوبی نشان داد. در جنوب غرب ترکیه نیز Heinrich *et al.* (2013) با اندازه گیری ایزوتوپ پایدار کربن $^{13}\delta\text{C}$ در

صرفاً به بررسی ارتباط بین حلقه های سالانه درختان با عوامل هواشناسی محدود شده است (Pourtahmasi *et al.*, 2007; Balapour *et al.*, 2010; Najafi *et al.*, 2012; Nadi *et al.*, 2009; Azizi *et al.*, 2013). البته، در زمینه بازسازی متغيرهای هواشناسی در ایران نیز مطالعات اندکی در غرب کشور به انجام رسیده است. برای مثال، Arsalanی *et al.* (2014) با استفاده از گاهشناسی منطقه ای در غرب کشور داده های بارش را در دوره های ۱۸۴۰-۲۰۱۰ بازسازی کردند. همچنین، بازسازی گاهشناسی درختی مذکور دمای حداکثر را در همان منطقه بازسازی کردند. اما در دنیا مطالعات ارزشمندی در بازسازی حلقه درختی دما در شرق ایران (چین) و غرب ایران (اروپا) انجام شده است. برای مثال، مطالعات چین بیشتر در فلات تبت انجام شده است. Bräuning (2006) با تعیین سن درختان در رویشگاه های ایجاد شده روی رسوبات یخچالی به مطالعه تاریخچه نوسان های یخچالی در اوخر دوره هولوسن در شرق تبت پرداخت. در ارتفاعات کوهستان هنگدوان در جنوب غرب چین Fan *et al.* (2008) چهار گاهشناسی از درختان کاج به دست آوردند. سپس، با استفاده از تکنیک تحلیل مؤلفه های اصلی (PCA) گاهشناسی منطقه ای را تعیین و دمای سالانه (اکتبر، قبل از فصل رشد تا سپتامبر، دوره رشد) را بازسازی کردند. ایشان دهه های ۱۸۱۰، ۱۸۶۰ و ۱۹۶۰-۱۹۸۰ را سرديرين و دهه های ۱۸۵۰، ۱۹۴۰-۱۹۶۰ و دو دهه اخیر را Li *et al.* (2012) دماهای تابستان پنج قرن گذشته را در جنوب غرب چین بازسازی کردند و دریافتند که دهه های ۱۶۸۰، ۱۷۵۰، ۱۸۵۰، ۱۹۲۰ و ۱۹۵۰ و از سال ۱۹۹۰ تا زمان فعلی گرم ترین دوره ها در ۵۰۰ سال گذشته بوده است. به علاوه، دوره های گرم و سرد بازسازی شده تطابق خوبی با دوره های پسرفت و پیشرفت سطح یخچال های طبیعی منطقه داشت.

علاوه بر حلقه های سالانه درختان، محققانی مانند Yang (2007) با اندازه گیری اختلاف ایزوتوپ کربن ۱۳ موجود در حلقه های درختان منطقه کامدو¹ به بررسی نوسان های دمای فلات تبت در هزاره قبل پرداختند. ایشان دریافتند که در دوره ۱۲۰۰ تا ۱۴۰۰ دوره گرمی با میانگین دمای ۱/۲ درجه سانتی گراد بالاتر از میانگین درازمدت کل فلات تبت رخ داد. سپس، طی سال های ۱۴۰۰ تا ۱۷۰۰ دماهای تابستانه ۵/۰ درجه سانتی گراد کمتر از میانگین درازمدت مطابق با عصر یخبندان کوچک² بود. همچنین، ایشان گرم ترین دوره

1. Qamdo

2. Little Ice Age

است که سایت نمونه برداری درخت بیش از ۱۵۰۰ متر اختلاف ارتفاع با ایستگاه هواشناسی سینوپتیک نوشهر دارد که قطعاً بسیار سردتر از مناطق کم ارتفاع ساحلی است.

نحوه نمونه گیری و اندازه گیری پهنهای دوایر رویشی
 برای به دست آوردن منحنی گاهشناسی درختی با کیفیت مناسب هر مقدار تعداد نمونه درختان بیشتر باشد، مناسب‌تر خواهد بود. اما با توجه به یکنواختی توده درختان در منطقه مورد مطالعه و نیز آموزشی و پژوهشی بودن سایت نمونه برداری از حداقل تعداد مورد نیاز درخت برای تهیه گاهشناسی درختی یعنی پانزده درخت راش و از هر درخت دو بار (در مجموع سی نمونه) نمونه برداری به عمل آمد. در مرحله پس از اندازه گیری نیز به واسطه رابطه خوب بین نمونه‌ها در تطابق زمانی، افزایش تعداد نمونه‌ها لازم نشد. پس از انتخاب درختان با استفاده از متئه رویش سنج از هر درخت در جهت عمود بر هم و از ارتفاع برابر سینه درخت دو نمونه گرفته شد. قطر نمونه و به تبع آن حفره ایجاد شده در درخت ۵ میلی‌متر بود که با چسب پیوند برای پرهیز از ورود عوامل مخرب به چوب مسدود شد. سپس، این نمونه‌ها به آزمایشگاه منتقل و در نگهدارنده ثبیت شد و سطح نمونه‌ها به منظور وضوح بیشتر با تیغ آماده و با گچ سفید لایه‌ای روی سطح نمونه‌ها کشیده شد. پس از آن نمونه‌ها روی میز LINTAB قرار گرفت و زیر بینوکولار پهنهای دوایر درختان از سمت پوست به سمت مغز با دقیقاً ۱۰/۰ میلی‌متر اندازه گیری شد. برای بررسی تطابق زمانی بین نمونه‌های اندازه گیری شده از نرم‌افزار TSAP استفاده شد تا تاریخ گذاری دقیق حلقه‌های رویش به انجام برسد.

پس از تهیه سری زمانی تغییرات پهنهای دوایر سالانه برای هر درخت، باید گرایش‌های رویشی حذف و به اصطلاح سری زمانی استاندارد شود. برای این کار از نرم‌افزار ARSTAN استفاده شد. در این نرم‌افزار ابتدا تابعی بر مقادیر پهنهای رویشی اندازه گیری شده برازش می‌باید. سپس، از تقسیم مقدار اندازه گیری شده بر مقدار به دست آمده از منحنی برازش داده شده مقدار گاهشناسی یا نمایه رویشی هر درخت به دست می‌آید. در نهایت، با میانگین گیری از گاهشناسی‌های به دست آمده از درختان مختلف، گاهشناسی پهنهای دوایر رویش سالانه درختان منطقه به دست آمد. به منظور ارزیابی کیفیت گاهشناسی تهیه شده در این تحقیق از میانگین حساسیت سری زمانی حلقه‌های رویش درختان استفاده شد که ۳۲/۰ به دست آمد. این میزان تغییرات یک حلقه رویش به حلقه رویش بعدی را نشان می‌دهد. به منظور حصول اطمینان از همبستگی مناسب

درختان ارس، دماهای زمستان و بهار را در دوره ۱۰۲۲-۲۰۰۶ بازسازی کردند. نتایج بازسازی ایشان پدیده‌های حدی و با فراوانی وقوع کم مانند عصر یخبندان کوچک و دوره گرم قرون وسطی را به خوبی نشان داد، اما روند صعودی دمای برآمده از بیشتر تحقیقات اخیر (گرمایش جهانی) را نشان نداد.

بررسی کلی مطالعات انجام شده در ایران و جهان نشان می‌دهد که بازسازی متغیرهای هواشناسی از روی حلقه‌های درخت چندین دهه است که به صورت جدی در دنیا در حال انجام است. اما در ایران بیشتر مطالعات مربوط به شناسایی عوامل هواشناسی مؤثر بر رشد درختان بوده و تنها مطالعات محدودی در بازسازی دما و بارش در غرب کشور انجام شده است. همچنین، بر اساس اطلاعات نگارنده‌گان، تاکنون مطالعه‌ای در زمینه بازسازی متغیرهای هواشناسی از روی درختان رویشگاه‌های موجود در منطقه جنگلی شمال کشور به انجام نرسیده است و تحقیق حاضر سعی دارد که نخست پاسخ رشد درختان به شرایط آب و هوایی محلی (داده‌های هواشناسی ایستگاهی) و جهانی (داده‌های هواشناسی شبکه نقاط) را بررسی کند و متغیر هواشناسی مؤثر بر رشد درختان راش جبهه شمالی رشته کوه‌های البرز مرکزی را شناسایی کند؛ سپس، به بازسازی درازمدت متغیر هواشناسی مؤثر از روی حلقه‌های درختان پردازد.

مواد و روش‌ها

منطقه مورد مطالعه

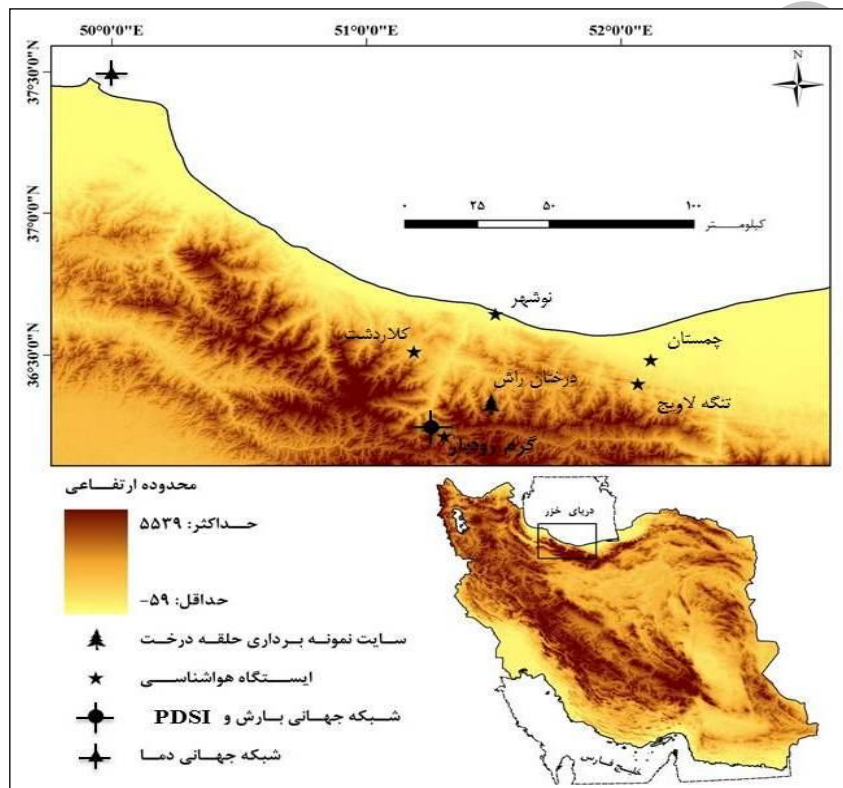
در این تحقیق از گاهشناسی درختان راش گونه *Fagus orientalis* L. واقع در رویشگاه مرتفع جنگلی منطقه کلیک استفاده شد. این منطقه در ارتفاعات نوشهر استان مازندران و در بخش میانی رشته کوه‌های البرز و در جنگل تحقیقاتی دانشگاه تهران واقع شده است. درختان این منطقه به دلیل قرار گیری در جبهه شمالی رشته کوه‌های البرز و نزدیک بودن به خط ساحلی، تحت تأثیر جریان‌های مرتبط خزری همچنین، توده‌های هوای غربی از سمت دریای سیاه قرار دارد که رطوبت زیادی را در فصول زمستان و بهار دریافت می‌کند. مقدار متوسط بارش و دمای سالانه ایستگاه سینوپتیک نوشهر در این منطقه به ترتیب ۱۳۰۰ میلی‌متر و ۱۶/۱ درجه سانتی‌گراد است که بر اساس سیستم طبقه‌بندی اقلیمی دمارتن گسترش یافته و دارای آب و هوای مرتبط نوع الف معتدل است (Rahimi et al., 2013).
 سایت نمونه برداری درختی در طول جغرافیایی ۳۶ درجه و ۲۷ دقیقه شمالی و عرض ۵۱ درجه و ۳۰ دقیقه شرقی و ارتفاع ۱۳۰۰ متری از سطح دریا قرار دارد (شکل ۱). البته، شایان ذکر

داده‌های هواشناسی

برای تعیین مؤثرترین متغیرهای هواشناسی دما و بارش ماهانه بر رشد درختان راش منطقه از دو دسته متغیرهای هواشناسی استفاده شد:

۱. داده‌های ایستگاهی در این تحقیق از داده‌های متوسط ماهانه دما و بارندگی پنج ایستگاه هواشناسی مجاور به محل نمونه‌برداری گردآوری شد که اطلاعات ایستگاهها و موقعیت آن‌ها در جدول ۱ و شکل ۱ نشان داده شده است.

بین سری‌های زمانی حاصل از هر یک از نمونه‌ها میانگین همبستگی بین سی سری زمانی محاسبه شد که $0.5 / 0$ به دست آمد. دوره آماری گاهشناسی حلقه‌های درختان راش به دست آمده ۲۰۰۶-۱۸۰۰ است. از آنجا که برای بازسازی داده‌های اقلیمی از روی حلقه‌های رویش، همبستگی بین سری‌های زمانی حلقه‌درختی و نیز تعداد نمونه باید مناسب باشد، از فاکتور ارزیابی کیفی دیگری به نام سیگنال معرف جمعیت^۱ (EPS) استفاده شد که میزان آن از سال ۱۸۰۶ به بالاتر از حد مورد نیاز (۰/۸۵) رسیده است.



شکل ۱. سایت نمونه‌برداری، موقعیت ایستگاه‌های هواشناسی و نزدیک‌ترین نقاط از شبکه جهانی به سایت نمونه‌گیری حلقه‌درختی در منطقه کلیک نوشهر

جدول ۱. مشخصات ایستگاه‌های هواشناسی مورد استفاده و خصوصیات آماری داده‌های بارش ایستگاه‌های هواشناسی

ایستگاه هواشناسی	نوع ایستگاه هواشناسی	عرض جغرافیایی	طول جغرافیایی	ارتفاع (متر)	دوره آماری
تبخیرسنگی	تبخیرسنگی	۳۶/۲	۵۱/۳	۲۰۰۰	۱۹۷۵-۱۹۸۵
باران‌سنگی	باران‌سنگی	۳۶/۴	۵۲/۰	۵۰۰	۱۹۶۶-۱۹۹۸
تبخیرسنگی	تبخیرسنگی	۳۶/۵	۵۲/۱	۴۵۰	۱۹۷۳-۲۰۰۸
سینوبتیک	نوشهر	۳۶/۷	۵۱/۵	-۲۱	۱۹۷۷-۲۰۱۰
باران‌سنگی	کلاردشت	۳۶/۵	۵۱/۲	۱۱۰۰	۱۹۵۸-۲۰۰۵

تحقیق از داده‌های دما، بارندگی و شاخص سختی خشکسالی پالمر (PDSI) استفاده شد. موقعیت نزدیک‌ترین نقاط شبکه به محل نمونه‌برداری در شکل ۱ نشان داده شده است.

۲. داده‌های شبکه جهانی تحلیل مجدد از شبکه NCEP/NCAR. این داده‌ها در تارنمای مرکز ملی مطالعات جوی و اقیانوسی ایالات متحده (NOAA) در دسترس است و متغیرهای اصلی هواشناسی کل کره زمین را در شبکه‌ای منظم به علاوه ۲/۵۸۲ درجه در اختیار کاربران قرار می‌دهد. در این

1. Expressed Population Signal

و ارزیابی است. این شاخص‌ها هر چه به عدد یک نزدیک‌تر باشد، نشان‌دهنده قدرت بالای معادله بازسازی است. البته، هر مقدار مثبت این شاخص‌ها اعتبار کافی مدل را نشان می‌دهد. آزمون ST نشان‌دهنده تعداد برآوردهای درست به نادرست است. چنانچه تعداد برآوردهای نادرست از حداکثر مجاز آن در سطح ۹۵ درصد کمتر باشد، بازسازی‌ها قابل قبول است. پس از بازسازی دما دوره‌های سرد و گرم گذشته تعیین شد.

نتایج و بحث

در این بخش ابتدا همبستگی حلقه‌های سالانه درختان راش با متغیرهای هواشناسی ایستگاهی و جهانی بررسی و مؤثرترین متغیر هواشناسی بر رشد درختان منطقه تعیین شد. سپس، به متغیر مذکور در دوره آماری موجود حلقه‌های درختی بازسازی و در انتهای داده‌های بازسازی شده درازمدت تحلیل شد.

همبستگی حلقه‌های سالانه درختان راش با داده‌های ایستگاهی

در این بخش، ابتدا ایستگاه‌های هواشناسی معتبر و قابل اعتماد شامل پنج ایستگاه شناسایی شد (شکل ۱). از بین این پنج ایستگاه، تنها در سه ایستگاه داده‌های بارش استفاده شد. همچنین، از چهار ایستگاه هواشناسی ثبت داده‌های پهنهای دواير سالانه درختان داشت (جدول ۲). ضرایب همبستگی و *P-value* پهنهای دواير سالانه درختان با متغیرهای دمای میانگین و بارش ماهانه این ایستگاه‌ها محاسبه شد.

بررسی نتایج جدول ۲ نشان می‌دهد که همبستگی حلقه‌های رشد سالانه درختان راش با داده‌های بارش همه ایستگاه‌های هواشناسی به خصوص در ماه‌های ابتدایی و انتهایی رشد منفی است. به عبارتی در سال‌های پربارش، درختان منطقه رشد کمتری دارد که منطقی به نظر نمی‌رسد، اما با توجه به همبستگی منفی و معنادار داده‌های بارش و دمای میانگین در سال‌های پربارش ایستگاه هواشناسی نوشهر ($r = -0.6$)، می‌توان استدلال کرد که وقوع بارش بیش از نرمال باعث کاهش دما و در نتیجه کاهش رشد درختان می‌شود. در مورد دمای متوسط ماهانه، گرچه تأثیر ماه‌های قبل از شروع رشد منفی است، افزایش دما به خصوص در ماه‌های ابتدا (مارس و آوریل) و انتهای رشد تأثیر مثبت و معنادار بر رشد درختان دارد. با توجه به همبستگی منفی دما و بارش، همچنین ارتفاع زیاد رویشگاه می‌توان گفت که رشد درختان راش این منطقه با متغیرهای دمایی محدود می‌شود. همچنین، در بین ایستگاه‌های ثبت دما، داده‌های دمای متوسط ماهانه ایستگاه نوشهر با رشد درختان

پس از بررسی اولیه داده‌های هواشناسی در ایستگاه‌های منتخب، داده‌های مفقود ایستگاه‌ها با استفاده از تکنیک زمین‌آماری وزنی مربع عکس فاصله بازسازی شد. سپس، به منظور تعیین مؤثرترین متغیر هواشناسی بر رشد درختان راش منطقه، همبستگی پهنهای دواير سالانه درختان با متغیرهای هواشناسی ماهانه دما و بارش ایستگاهی و منطقه‌ای بررسی شد. پس از آن متغیر هواشناسی منتخب در دوره آماری حلقه‌های موجود بازسازی شد.

واسنجی و ارزیابی معادله بازسازی متغیرهای هواشناسی برای بازسازی متغیر هواشناسی منتخب در منطقه مطالعاتی، ابتدا رابطه رگرسیون خطی ساده متغیر هواشناسی منتخب با حلقه‌های سالانه درختان در دوره آماری موجود حلقه‌ها محاسبه شد. سپس، با استفاده از گاهاشناستی حلقه‌های سالانه درختان راش به منزله پیش‌بینی‌کننده، متغیر هواشناسی مورد نظر بازسازی شد. به منظور ارزیابی معادله واسنجی، کل دوره آماری به دو دوره مساوی تقسیم شد (۱۹۹۲-۱۹۹۱ و ۱۹۷۷-۲۰۰۶) و در یکی از دوره‌ها پارامترهای معادله بازسازی برآورد شد. سپس، با استفاده از پارامترهای برآورده شده معادله بازسازی در دوره دیگر ارزیابی شد (Cook and Kairiukstis, 1990). همچنین، به روش ارزیابی مقاطعه^۱ نیز بازسازی‌ها در کل دوره ارزیابی شد. آزمون‌های مورد استفاده برای ارزیابی معادله بازسازی عبارت بود از ضریب همبستگی پیرسون (r)، آزمون علامت^۲ (ST)، آماره ضریب کارایی^۳ (CE) و کاهش خطأ^۴ (RE) (Fritts, 1976).

$$RE = 1 - \left[\frac{\sum_{i=1}^n (x_i - \hat{x}_i)^2}{\sum_{i=1}^n (x_i - \bar{x}_c)^2} \right] \quad (\text{رابطه ۱})$$

$$CE = 1 - \left[\frac{\sum_{i=1}^n (x_i - \hat{x}_i)^2}{\sum_{i=1}^n (x_i - \bar{x}_v)^2} \right] \quad (\text{رابطه ۲})$$

فرمول محاسبه شاخص‌های CE و RE به ترتیب در فرمول‌های ۱ و ۲ نشان داده شده است. در این معادله x_i و \hat{x}_i به ترتیب مقادیر واقعی و برآورده در سال i در دوره ارزیابی و \bar{x}_c و \bar{x}_v به ترتیب میانگین داده‌های واقعی در دوره واسنجی

1. Cross Validation
2. Sign Test
3. Coefficient of Efficiency
4. Reduction Error

متوسط ماهانه، همبستگی پهنانی دوایر سالانه درختان با میانگین ماهانه دماهای حداقل و حداکثر ایستگاه نوشهر نیز بررسی شد (شکل ۲).

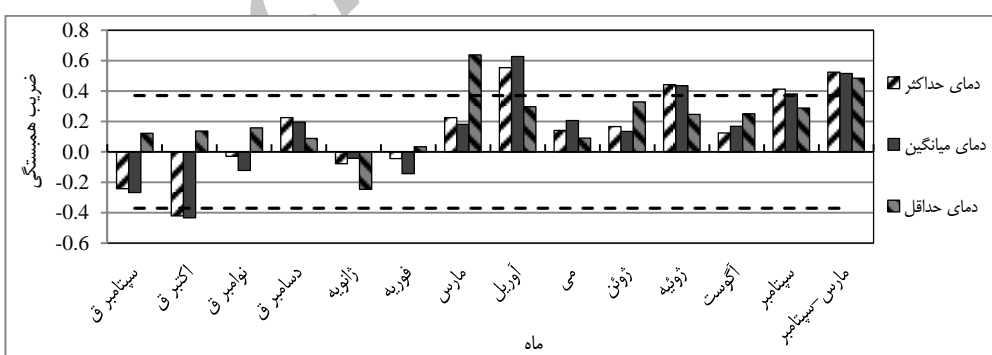
این منطقه همبستگی بهتری از خود نشان داد. از داده‌های این ایستگاه برای مطالعات اقلیم‌شناسی درختی استفاده شد. به منظور بررسی دقیق‌تر تأثیر دما بر رشد درختان علاوه بر دمای

جدول ۲. ضرایب همبستگی (r) و P-value (P) پهنانی دوایر سالانه درختان راش منطقه کلیک با دما و بارش ماهانه ایستگاه‌های هواشناسی

ماه	بارش ماهانه												سپتامبر ق*	
	دمای متوسط ماهانه						گرم‌رودبار							
	گرم‌رودبار		چمستان		نوشهر		گرم‌رودبار		کلاردشت		تنگه لاویج			
p	r	p	r	p	r	p	r	p	r	p	r	p	r	
۰/۰۰	-۰/۵۳	۰/۲۶	-۰/۲۰	۰/۱۷	-۰/۲۷	۰/۳۳	۰/۱۸	۰/۱۹	-۰/۲۴	۰/۱۹	۰/۲۴	۰/۷۱	-۰/۰۷	
۰/۵۶	-۰/۱۰	۰/۳۱	-۰/۱۸	۰/۰۲	-۰/۴۳	۰/۰۲	۰/۴۲	۰/۷۷	۰/۰۶	۰/۹۴	۰/۰۱	۰/۱۳	۰/۲۹	
۰/۹۴	-۰/۰۱	۰/۵۸	۰/۱۰	۰/۵۴	-۰/۱۲	۰/۳۴	۰/۱۸	۰/۲۲	-۰/۲۳	۰/۰۷	-۰/۳۳	۰/۰۴	-۰/۰۳۸	
۰/۵۹	۰/۱۰	۰/۰۵	۰/۳۳	۰/۳۲	۰/۲۰	۰/۱۸	-۰/۲۵	۰/۰۰	-۰/۵۶	۰/۵۹	-۰/۱۰	۰/۷۷	-۰/۰۰۶	
۰/۵۰	-۰/۱۲	۰/۹۷	۰/۰۱	۰/۸۳	-۰/۰۴	۰/۱۴	-۰/۲۷	۰/۳۹	-۰/۱۶	۰/۲۳	۰/۲۲	۰/۰۶	۰/۳۵	
۰/۴۱	-۰/۱۵	۰/۸۶	-۰/۰۳	۰/۴۶	-۰/۱۴	۰/۰۳	-۰/۴۰	۰/۲۶	-۰/۲۱	۰/۷۴	-۰/۰۶	۰/۷۸	-۰/۰۰۵	
۰/۹۲	۰/۰۲	۰/۲۹	۰/۱۹	۰/۳۶	۰/۱۸	۰/۰۰	-۰/۴۹	۰/۲۹	-۰/۲۰	۰/۲۶	-۰/۲۱	۰/۴۴	-۰/۰۱۵	
۰/۳۵	۰/۱۷	۰/۲۷	۰/۱۹	۰/۰۰	۰/۶۳	۰/۳۵	-۰/۱۷	۰/۹۰	-۰/۰۲	۰/۳۴	-۰/۱۸	۰/۰۶	-۰/۰۳۵	
۰/۳۳	۰/۱۷	۰/۲۸	۰/۱۹	۰/۲۹	۰/۲۱	۰/۲۸	۰/۲۰	۰/۰۲	-۰/۴۲	۰/۴۲	۰/۱۵	۰/۵۳	-۰/۰۱۲	
۰/۲۱	۰/۲۳	۰/۱۶	۰/۲۵	۰/۵۰	۰/۱۳	۰/۵۰	۰/۱۳	۰/۵۲	-۰/۱۲	۰/۱۷	۰/۲۵	۰/۷۰	۰/۰۷	
۰/۰۶	۰/۳۳	۰/۰۱	۰/۴۳	۰/۰۲	۰/۴۴	۰/۷۲	-۰/۰۷	۰/۳۵	-۰/۱۷	۰/۷۲	-۰/۰۷	۰/۰۶	-۰/۰۳۵	
۰/۳۷	۰/۱۶	۰/۱۱	۰/۲۸	۰/۳۹	۰/۱۷	۰/۱۵	-۰/۲۷	۰/۰۰	-۰/۵۴	۰/۶۳	-۰/۰۹	۰/۱۱	-۰/۰۳۰	
۰/۲۵	۰/۲۱	۰/۲۲	۰/۲۲	۰/۰۵	۰/۳۸	۰/۱۹	-۰/۲۴	۰/۴۰	-۰/۱۶	۰/۰۵	-۰/۰۳۶	۰/۱۱	-۰/۰۳۰	
۰/۲۴	۰/۲۱	۰/۱۴	۰/۲۶	۰/۲۵	۰/۲۳	۰/۲۲	-۰/۲۳	۰/۰۰	-۰/۵۹	۰/۴۳	-۰/۱۵	۰/۰۲	-۰/۰۴۲	
سالانه														

اعداد سیاه ضرایب همبستگی معنادار در سطح احتمال ۹۵ درصد

* ماه سپتامبر قبل از شروع سال جدید رویش



شکل ۲. همبستگی حلقه‌های سالانه درختان راش منطقه کلیک با متغیرهای دمایی ایستگاه هواشناسی نوشهر (حدود ۹۵ درصد اطمینان با خط‌چین نشان داده شده است)

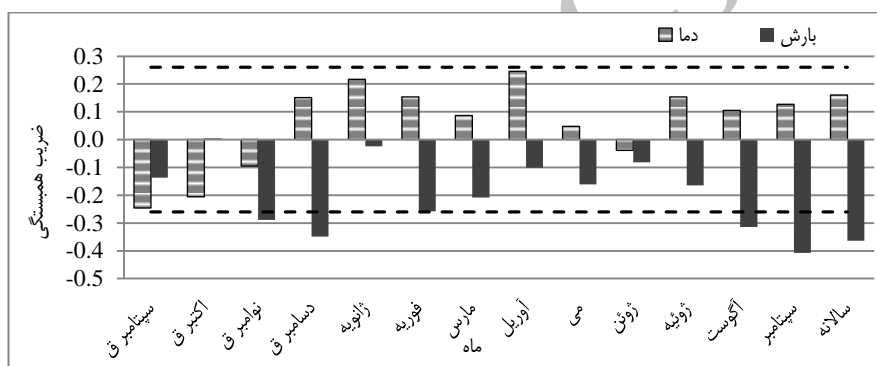
سالانه می‌شود. در ادامه، این دمای حداکثر است که تأثیر غالب را بر رشد درختان منطقه دارد. همچنین، با توجه به تأثیر مثبت دما در کل دوره رشد، همبستگی پهنانی دوایر سالانه درختان با متوسط دمای کل دوره رشد (مارس- سپتامبر) نیز محاسبه شد که نتیجه آن تأثیر مثبت و معنادار و غالب دمای حداکثر کل دوره رشد را بر رشد درختان راش این منطقه نشان می‌دهد.

نتایج شکل ۲ نشان می‌دهد که افزایش دمای انتهای دوره رشد سال قبل باعث کاهش رشد درختان در سال بعد می‌شود که به نظر می‌رسد طولانی‌شدن دوره رشد قبل از سال جاری باعث مصرف ذخیره شیره گیاهی انتهای دوره و ضعف درخت در سال بعد می‌شود. این نتیجه را قبلاً Pourtahmasi *et al.* (2009) نیز گزارش کرده‌اند. پس از آن، در روزهای ابتدایی شروع رشد وقوع دماهای بسیار کم باعث کاهش رشد حلقه‌های

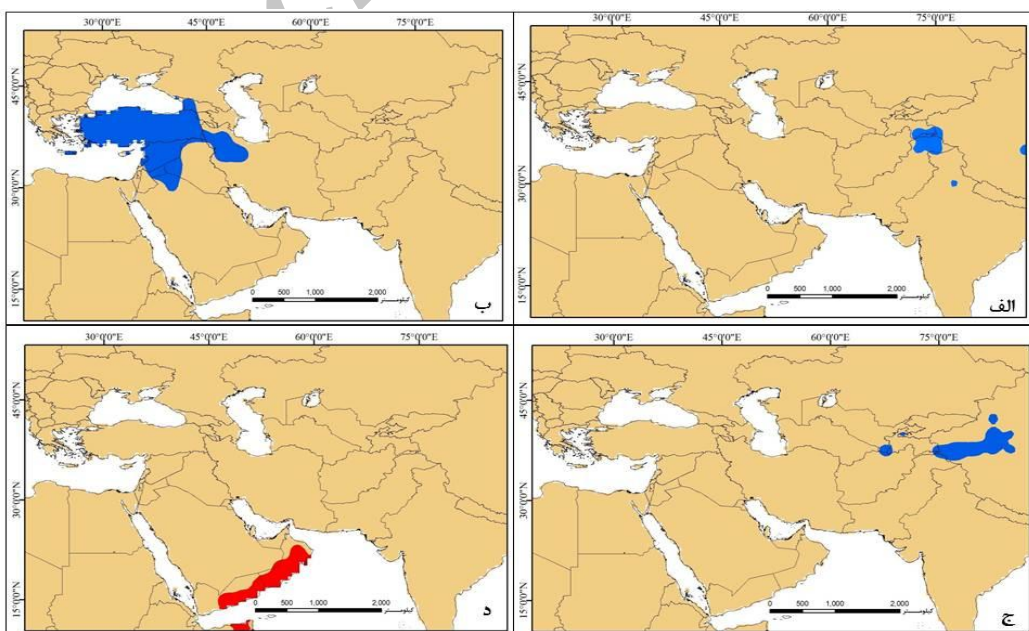
نقشه‌های ضرایب همبستگی داده‌های دما در فصول مختلف ترسیم شد (شکل ۴). بررسی این شکل نشان می‌دهد که تنها دمای چند ماه قبل از شروع رشد در فصل زمستان تأثیر مثبتی بر رشد درختان راش دارد. همچنین، با توجه به همبستگی مثبت و معنادار مناطق واقع در مسیر جريان‌های دریای سیاه یعنی شمال غرب کشور و جنوب غربی دریای سیاه، می‌توان نتیجه گرفت که جريان‌های دمایی دریای سیاه در فصل زمستان تأثیر معناداری بر رشد درختان این منطقه دارد. علاوه‌بر دما، نتیجه گرفت که جريان‌های دمایی دریای سیاه در هیچ یک از ماه‌های سالانه درختان نیز ترسیم و بررسی شد. در هیچ یک از ماه‌های مورد بررسی پهنه‌های معنادار و منطقی به دست نیامد که خود نشان‌دهنده بی‌تأثیر بودن این داده‌ها در مقیاس جهانی بر رشد درختان راش منطقه است.

رابطه حلقه‌های رشد درختان راش با داده‌های تحلیل مجدد ضرایب همبستگی حلقه‌های سالانه درختان راش منطقه کلیک با نزدیک‌ترین نقطه شبکه داده‌های جهانی به سایت نمونه‌برداری درختی، حاکی از تأثیر منفی بارش در کل دوره رشد است (شکل ۳) که البته تأثیر منفی بارش ماههای قبل و ماههای انتهایی رشد معنادار است. همچنین، همبستگی داده‌های PDSI با پهنه‌ای دوایر سالانه درختان در کل دوره رشد منفی بود. در مقابل، تأثیر دمای ماههای قبل تا انتهای دوره رشد بر رشد درختان مثبت بود، اما در هیچ یک از ماه‌ها معنادار نشد.

با توجه به بخش قبل در خصوص تأثیر مثبت، معنادار و منطقی داده‌های دما بر رشد درختان راش منطقه کلیک می‌توان نتیجه گرفت که تأثیر منفی بارش طی رشد ممکن است به دلیل کاهش دما در سال‌های پربارش باشد. به همین دلیل



شکل ۳. همبستگی پهنه‌ای دوایر سالانه درختان راش منطقه کلیک با متغیرهای دما، بارش و PDSI بر مبنای شبکه جهانی نقاط



شکل ۴. نواحی دارای ضریب همبستگی معنادار (در سطح ۹۵ درصد) مثبت (آبی) و منفی (قرمز) پهنه‌ای دوایر سالانه درختان راش منطقه کلیک با داده‌های دمای فصلی شبکه جهانی نقاط (الف) پاییز، (ب) زمستان، (ج) بهار، (د) تابستان

آزمون علامت نشان می‌دهد که تعداد عدم توافق‌ها از حداکثر مجاز در سطح احتمال ۹۵ درصد (یعنی پنج مورد) تجاوز نمی‌کند. به علاوه، مقادیر مثبت ضریب کارایی و آماره کاهش خطای نشان از قدرت خوب معادله بازسازی دارد. مقدار RMSE نیز از مقدار انحراف استاندارد داده‌های واقعی دما (0.72) کمتر است.

ارزیابی معادله بر اساس داده‌های نیمة دوم کمی ضعیفتر بود، اما همچنان تعداد عدم توافق‌ها در آزمون علامت معنادار نیست، ولی ضریب همبستگی داده‌های واقعی و برآورده کاهش یافته است. همچنین، مقادیر منفی ضرایب کارایی و آماره کاهش خطای نشان از ضعیفتر بودن بازسازی‌ها دارد. به علاوه، مقدار RMSE نیز از مقدار انحراف استاندارد داده‌های واقعی دما (0.72) بیشتر است. در مجموع، در دو دوره مقدار آماره دوربین-واتسون معنادار نبود که نشان‌دهنده عدم وجود خودهمبستگی مرتبه اول در داده‌های بازسازی است. نتایج ارزیابی معادله بازسازی بر اساس داده‌های کل دوره آماری ایستگاه به روش ارزیابی متقاطع کارایی خوب معادله را نشان می‌دهد که در آن آزمون علامت و آماره دوربین-واتسون معنادار نبود. همچنین، مقدار RMSE از 0.72 کمتر است.

از مجموع بررسی ارتباط پهنه‌ای دواير سالانه درختان راش با داده‌های هوشناسی ایستگاهی و جهانی می‌توان گفت که نخست رشد درختان راش در این منطقه با داده‌های دما محدود می‌شود و همبستگی منفی رشد با داده‌های بارش نیز به دلیل کاهش دما طی سال‌های پربارش است. دوم، درختان راش این منطقه تحت تأثیر شرایط محلی است و با داده‌های جهانی همبستگی معناداری ندارد.

بازسازی دمای حداکثر مارس-سپتامبر

از مجموع بررسی ارتباط حلقه‌های سالانه درختان راش مشخص شد که مناسب‌ترین و منطقی‌ترین رابطه مربوط به متوسط دمای حداکثر مارس تا سپتامبر است. بنابراین، متوسط دمای حداکثر مارس-سپتامبر ایستگاه نوشهر در دوره آماری ۲۰۰۶-۱۸۰۶ بازسازی شد. نتایج واسنجی و ارزیابی معادله بازسازی در جدول ۳ نشان داده شده است. بررسی نتایج واسنجی معادله بازسازی نشان می‌دهد که همبستگی معادله در دوره اول (۱۹۷۷-۱۹۹۱) نسبت به دوره دوم (۱۹۹۲-۲۰۰۶) کمتر است اما معادله بازسازی بر اساس داده‌های کل دوره (۲۰۰۶-۱۹۷۷) بیش از یک‌سوم واریانس را توجیه می‌کند. ارزیابی معادله بازسازی بر اساس داده‌های نیمة دوم نتایج بسیار خوبی را نشان می‌دهد که در آن

جدول ۳. نتایج واسنجی و ارزیابی معادله بازسازی دمای حداکثر مارس-سپتامبر

دوره واسنجی	R^2_{adj}	R^2	R	دوره ارزیابی	ST	R	DW	RMSE	CE	RE
۱۹۷۷-۱۹۹۱	۰/۱۵	۰/۱۷	۰/۴۱	۱۹۹۲-۲۰۰۶	۱/۴۱	۰/۱۹	۰/۱۲	۰/۷۱	۰/۱۲	۰/۱۹
۱۹۹۲-۲۰۰۶	۰/۶۱	۰/۶۴	۰/۸۰	۱۹۷۷-۱۹۹۱	۱/۸۷	-۰/۰۶	-۰/۳۹	۰/۸۱	-۰/۰۶	-۰/۰۶
۲۰۰۶-۱۹۷۷ (کل دوره)	۰/۳۳	۰/۳۶	۰/۶۱	۱۹۷۷-۲۰۰۶	۱/۹۱	۰/۵۱	۲۲/۸	۰/۵۶	---	---

نمودار تغییرات دما با استفاده از معادله ۳ و گاهشناصی درختان راش در دوره بازسازی $1806-2004$ در شکل ۶ ترسیم شده است. از بررسی این شکل می‌توان دریافت که دمای حداکثر مارس-سپتامبر حدوداً تغییرات دو درجه‌ای دارد و بین $21/5$ تا $23/5$ درجه در 200 سال گذشته تغییر می‌کند. به منظور تعیین دوره‌های گرم و سرد از میانگین متحرک هفت ساله داده‌های بازسازی استفاده شد. بر اساس نتایج این تحقیق در دو قرن $1950-1970$ گذشته طولانی‌ترین دوره گرم در خلال سال‌های $1840-1850$ به وقوع پیوست. همچنین، از اواسط دهه 1840 تا اواسط دهه 1850 و در دهه اول قرن بیستم این منطقه با دوره‌ای گرم همراه بوده است. البته، دهه 1980 به جز سال 1987 را می‌توان دوره‌ای گرم در نظر گرفت. به هر حال، درختان این منطقه

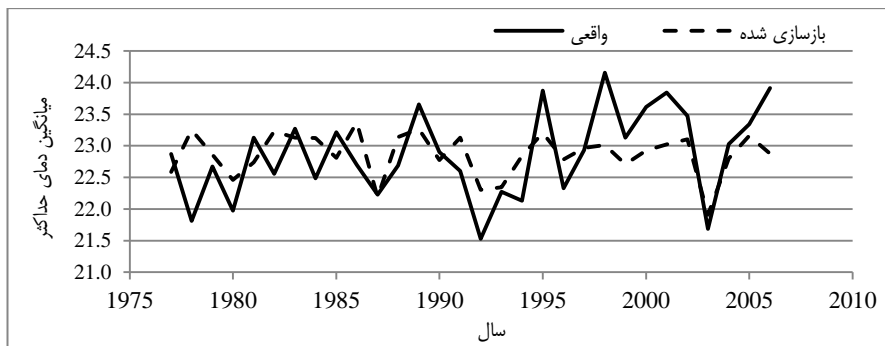
برای بازسازی نهایی دمای حداکثر مارس-سپتامبر از معادله ۳ استفاده شد.

$$T = 1/14 * Tr + 21/73 \quad (رابطه ۳)$$

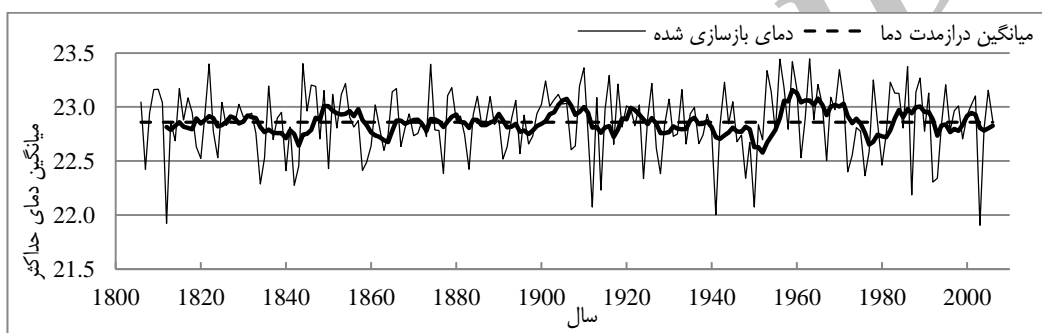
در معادله ۳، T دمای حداکثر مارس-سپتامبر بازسازی و Tr پهنه‌ای دواير سالانه درخت است. به منظور بررسی تطابق ظاهری نتایج، داده‌های واقعی و بازسازی شده در دوره آماری ایستگاه ($1997-2006$) در شکل ۵ ترسیم شد. بررسی این شکل نشان می‌دهد که تبعیت روند داده‌های بازسازی از داده‌های واقعی در نیمة دوم دوره بیش از نیمة اول است ولی در مجموع می‌توان گفت تغییرات داده‌های بازسازی شده شبیه داده‌های واقعی است. با این حال، دامنه تغییرات داده‌های بازسازی کمتر از داده‌های واقعی است.

همچنین در دهه ۱۹۷۰ نیز دو دوره نسبتاً سرد در منطقه ثبت شده است.

طولانی‌ترین دوره سرد را در فاصله سال‌های ۱۹۵۰-۱۹۳۰ داشتند. علاوه بر آن، از اواسط دهه ۱۸۳۰ تا اواسط دهه ۱۸۴۰،



شکل ۵. مقادیر واقعی و بازسازی شده دمای حداکثر مارس- سپتامبر در کلیک نوشهر



شکل ۶. دمای حداکثر مارس- سپتامبر بازسازی شده در دوره ۱۸۰۶-۲۰۰۶ (خط سیاه میانگین متغیر هفت ساله را نشان می‌دهد)

سال‌های نمادین مشبت (منفی) با حد ۹۵(۵) درصد نرمال استاندارد یعنی $+1/64$ - $(1/64)$ تعیین شد. سال‌های نمادین مشبت (بسیار گرم) و منفی (بسیار سرد) در جدول ۴ نشان داده شده است. بر اساس نتایج این جدول، کمترین و بیشترین متوسط حداکثر دمای مارس- سپتامبر منطقه کلیک نوشهر ۲۱/۹ و ۲۳/۵ بود که به ترتیب در سال‌های ۲۰۰۳ و ۱۹۶۳ به وقوع پیوست. همچنین، از مجموع سال‌های نمادین، حدود ۶۰ درصد سال‌ها، بسیار سرد و بقیه، بسیار گرم بود. در مورد دوره‌های گرم و سرد بازسازی شده، دوره‌های زمانی ۱۸۹۹-۱۸۰۶ و ۱۹۶۲-۱۹۰۶ طولانی‌ترین دوره‌ها با سال‌های متتمادی گرم بود که میانگین دمای مارس- سپتامبر طی این دوره‌ها به ۲۳/۱ درجه سانتی‌گراد رسید. طولانی‌ترین سال‌های متولی سرد بازسازی شده مربوط به دوره‌های زمانی ۱۹۵۲-۱۹۶۴ و ۱۹۷۲-۱۹۷۷ بود که متوسط دما طی این دوره‌ها به ۲۲/۶ رسید.

بررسی ارتباط دماهای بازسازی شده با شاخص‌های دور پیوند پس از بازسازی دما به منظور بررسی احتمال وجود ارتباط بین نتایج بازسازی شده در این تحقیق با شاخص‌های دور پیوند، همبستگی دماهای بازسازی شده با دو شاخص یکی، نوسان‌های

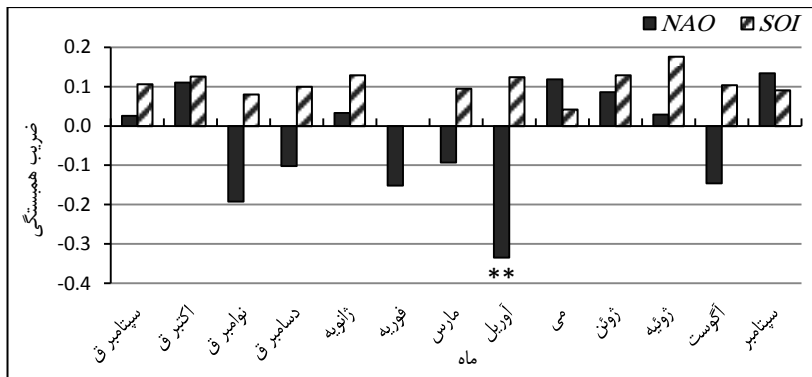
جدول ۴. سال‌های نمادین بسیار گرم و بسیار سرد بازسازی شده در ۲۰۰ سال گذشته در منطقه کلیک نوشهر

شماره دما	سال‌های نمادین سرد		سال‌های نمادین گرم	
	سال	دما	سال	دما
۲۳/۴۵	۱۹۶۳	۲۱/۹۱	۲۰۰۳	۱
۲۳/۴۴	۱۹۵۶	۲۱/۹۲	۱۸۱۲	۲
۲۳/۴۲	۱۹۵۹	۲۲/۰۰	۱۹۴۱	۳
۲۳/۴۰	۱۸۲۲	۲۲/۰۷	۱۹۱۲	۴
۲۳/۴۰	۱۸۴۴	۲۲/۰۷	۱۹۵۰	۵
۲۳/۴۰	۱۸۷۴	۲۲/۱۹	۱۹۸۷	۶
۲۳/۳۷	۱۹۸۶	۲۲/۲۳	۱۹۱۴	۷
۲۳/۳۶	۱۹۱۰	۲۲/۲۷	۱۸۴۲	۸
		۲۲/۲۹	۱۸۳۴	۹
		۲۲/۳۱	۱۹۹۲	۱۰
		۲۲/۳۴	۱۹۲۴	۱۱
		۲۲/۳۴	۱۹۴۸	۱۲
	۲۲/۳۴	۱۹۹۳	۱۳	

برای تعیین گرمترین و سردترین سال‌ها در ۲۰۰ سال گذشته، شاخص Zscore در کل دوره بازسازی محاسبه و

بررسی شاخص‌های دور پیوند تنها نتیجه منطقی و قابل استنباط، همبستگی منفی و معنادار دماهای بازسازی شده با شاخص NAO در ماه آوریل است. مقایسه نتیجه اخیر با ضرایب همبستگی در شکل ۲ نشان می‌دهد که نوسان‌های دما در این ماه بیشترین تأثیر را بر رشد درختان راش این منطقه دارد.

اطلس شمالی (NAO) و دیگری نوسان‌های جنوبی (SOI) بررسی شد (شکل ۷). بررسی این شکل نشان می‌دهد که همبستگی دماهای بازسازی شده با شاخص نوسان‌های جنوبی مثبت ولی غیرمعنادار است. اما در مورد شاخص نوسان‌های اطلس شمالی نیمی از ماه‌ها همبستگی منفی و نیمی دیگر همبستگی مثبت با دماهای بازسازی شده دارد. از مجموع



شکل ۷. همبستگی دماهای بازسازی با شاخص‌های دور پیوند (**) معناداری در سطح احتمال ۱ درصد)

بازسازی شد. نتایج بررسی تأثیر متغیرهای مختلف هواشناسی در مقیاس ایستگاهی و جهانی نشان داد که نخست کاهش دمای حداکثر در دوره رشد عامل محدودکننده رشد درختان این منطقه است. دوم، حلقه‌های سالانه درختان راش برخلاف داده‌های جهانی با دماهای محلی و ایستگاهی همبستگی‌های معنادارتری دارد. بنابراین، متوسط دمای حداکثر مارس تا سپتامبر بازسازی شد. برای بازسازی دما از رابطه رگرسیون خطی ساده استفاده شد. نتایج ارزیابی معادله بازسازی نشان داد که معادله بازسازی دما در نیمة دوم دوره ارزیابی (سال‌های اخیر) نسبت به نیمة اول صحت بیشتری دارد. ولی در مجموع دوره، معادله نهایی بازسازی در حدود یک‌سوم از واریانس تغییرات دما را توجیه می‌کند. نتایج بازسازی دما نشان داد که سال‌های ۱۹۳۰-۱۹۵۰ و ۱۹۵۰-۱۹۷۰ به ترتیب طولانی‌ترین دوره‌های سرد و گرم منطقه در بخش مرکزی رشته‌کوه‌های البرز بود. اما در مورد دوره‌های گرم و سرد متواالی، طولانی‌ترین دوره گرم به مدت هشت سال متواالی در اوایل قرن بیستم و در خلال سال‌های ۱۸۹۹-۱۹۰۶ به‌وقوع پیوست. همچنین، طولانی‌ترین دوره سرد به مدت هفت سال پیاپی در دوره ۱۹۴۶-۱۹۵۲ رخ داد. تحلیل سال‌های نمادین سرد و گرم نشان داد که این منطقه سال‌های بسیار سرد را به اندازه ۱۰ درصد بیش از سال‌های بسیار گرم تجربه کرده است. بررسی رابطه دماهای بازسازی شده با شاخص‌های دور پیوند NAO و SOI نشان داد که SOI با دماهای بازسازی شده در این تحقیق همبستگی معناداری ندارد. در مقابل، فاز منفی NAO در ماه آوریل باعث

با توجه به اینکه فاز منفی NAO همراه با تضعیف پرفشار آзорس و شارش هوای مرطوب به سمت مناطق جنوبی اروپا و مدیترانه است (Bazrafshan, 2012)، به نظر می‌رسد که در ماه آوریل این شارش رطوبت در اثر منفی شدن فاز NAO باعث ایجاد شرایط مناسب دمایی برای درختان راش در مرکز رشته‌کوه‌های البرز می‌شود. البته، تأثیر معنادار فاز منفی NAO بر افزایش دمای زمستان در ترکیه را (Türkes and Erlat 2003) نیز گزارش کردند.

مقایسه دماهای بازسازی شده در این تحقیق با یافته‌های محققان در کشورهای هم‌جوار نتایج جالبی را نشان داد. برای مثال، Arsالانی et al. (2014) در غرب ایران همانند نتایج این تحقیق، دهه‌های گرم ۱۹۶۰ و ۱۸۴۰ را بازسازی کردند. Heinrich et al. (2013) نیز کاهش دمای جنوب غرب ترکیه را در دهه چهارم و پنجم قرن بیستم و اوخر دهه اول قرن نوزدهم نشان دادند. تقریباً همه مطالعات بازسازی در منطقه آلب، دهه دوم قرن نوزدهم را سرددترین دهه در دو قرن گذشته بازسازی کردند (Büntgen et al., 2005, 2006, 2007, 2011). همچنین، این مطالعات دهه‌های گرم ششم و هفتم قرن بیستم را مشابه نتایج این تحقیق بازسازی کرد؛ اما نتایج ایشان برخلاف نتایج این تحقیق حاکی از افزایش بی‌سابقه دما طی دو دهه اخیر است.

نتیجه‌گیری

در این تحقیق برای اولین بار متغیر دما در اکوسیستم‌های خزری از روی حلقه‌های سالانه درختان راش منطقه کلیک نوشهر

مبناًی پهنه‌ای دوایر سالانه درختان روند افزایشی دما در شرق مدیترانه را نشان نداده است. همچنین، این نکته شایان ذکر است که سال‌های بسیار گرم دهه‌های اخیر کمتر از مقدار واقعی برآورد شده است که این را می‌توان یکی از دلایل احتمالی عدم نمایش گرمایش جهانی دما در سری‌های بازسازی شده دما دانست. البته، اظهارنظر قطعی در این مورد به مطالعات بیشتری نیازمند است.

REFERENCES

- Arsalani, M., Azizi, G. and Bräuning, A. 2014. Dendroclimatic reconstruction of May–June maximum temperatures in the central Zagros Mountains, western Iran. International Journal of Climatology, DOI: 10.1002/joc.3988.
- Azizi, Gh., Arsalani, M., Bräuning, A. and Moghimi, E. 2013. Precipitation variations in the central Zagros Mountains (Iran) since A.D. 1840 based on oak tree rings. Palaeogeography, Palaeoclimatology, Palaeoecology. 386: 96-103.
- Balapour, Sh., Jalilvand, H., Raeini, M., and Asadpour, H. 2010. Relationship between tree rings of Beech (*Fagus orientalis*) with some climatic variables in experimental forest of Natural Resources Faculty (Darabcola). Watershed Management Research Journal (Pajouhesh & Sazandegi). 88. 1-10. (In Persian)
- Bazrafshan, O. (2012). Hydrologic Drought Forecasting using Teleconnection and Intelligent Models (Case Study: Karkheh watershed Basin). Ph. D. Dissertation. University of Tehran. Karaj.
- Bräuning, A. 2006. Tree-ring evidence of 'Little Ice Age' glacier advances in southern Tibet. The Holocene, 16(3), 369–380.
- Büntgen, U., Frank, D.C., Kaczka, R., Verstege, A., Zwijacz-Kozica, T., ESPER, J. 2007. Growth responses to climate in a multi-species tree-ring network in the Western Carpathian Tatra Mountains, Poland and Slovakia. Tree Physiology. 27: 689–702.
- Buentgen, U., Tegel, W., Nicolussi, K., McCormick, M., Frank, D., et al. 2011. 2500 Years of European Climate Variability and Human Susceptibility. Science, 331: 578-582.
- Büntgen, U., Frankm, D. C., Nievergelt, D., and Esper, J. 2006. Summer Temperature Variations in the European Alps, A.D. 755–2004, J. Climate, 19, 5606–5623.
- Büntgen, U., Esper, J., Frank, D.C., Nicolussi, K., Schmidhalter, M. 2005. A 1052-year tree-ring proxy for Alpine summer temperatures. Climate Dynamics. 25: 141–153.
- Cook, E.R. and Kairiukstis, L.A. 1990. Methods of Dendrochronology: Applications in the Environmental Sciences. Kluwer Academic Publishers, Dordrecht. 394p.
- Coppola, A., Leonelli, G., Salvatore, M. C., Pelfini, M. and Baroni, C. 2013. Tree-ring-based summer mean temperature variations in the Adamello-Presanella Group (Italian Central Alps), 1610–2008 AD. Clim. Past. 9. 211–221.
- Fan, Z.X., Brauning, A., Cao, K.F. 2008. Annual temperature reconstruction in the central Hengduan Mountains, China, as deduced from tree rings. Dendrochronologia. 26. 97–107.
- Fritts, H.C. 1976. Tree Rings and Climate. Academic Press, London, 567 pp.
- Heinrich, I., Touchan, R., Linan, I.D., Vos, H., Helle, G. 2013. Winter-to-spring temperature dynamics in Turkey derived from tree rings since AD 1125. Clim Dyn. 41. 1685–1701.
- IPCC. 2007. Climate Change 2007: The Physical Science Basis. Contribution of Working Group I to the Fourth Assessment Report of the Intergovernmental Panel on Climate Change [Solomon, S., D. Qin, M. Manning, Z. Chen, M. Marquis, K.B. Averyt, M. Tignor and H.L. Miller (eds.)]. Cambridge University Press, Cambridge, United Kingdom and New York, NY, USA.
- Li, Z.S., Zhang, Q.B., Ma, K. 2012. Tree ring reconstruction of summer temperature for A.D. 1475–2003 in the central Hengduan Mountains, Northwestern Yunnan, China. Climatic Change. 110: 455–467.
- Nadi, M., Khalili, A., Pourtahmasi, K. and Bazrafshan, J. 2013. Comparison of Various Interpolation Techniques of Climatic Data for Determining the Most Important Factors Affecting the Trees Growth at the Elevated Areas of Chaharbagh, Gorgan. Journal of Forest and Wood Products. 66: 1. 83-95. (In Persian)
- Najafi Harsini, F., Pourtahmasi, K. and Karimi, A.N. 2012. Dendrochronological Investigation of Radial Growth of *Quercus infectoria* in Kermanshah Oak Forests. Journal of Forest and Wood Products. 65: 1. 119-129. (In Persian)
- Pourtahmasi, K., Parsapajouh, D., Brauning, A., Esper, J., Schweingruber, H.F. 2007. Climatic analysis of pointer years in Tree-ring chronologies from northern Iran and neighboring high mountain areas. GEOÖKO. 28: 27-42.
- Pourtahmasi, K., Poursartip, L., Bräuning, A. and Parsapajouh, D. 2009. Comparison between the radial growth of juniper (*Juniperus polycarpus*) and Oak (*Quercus macranthera*) trees in two sides of the Alborz Mountains in Chaharbagh region of gorgan. Journal of Forest and Wood Products. 62: 2. 159-169. (In Persian) www.SID.ir

- Rahimi, J. Ebrahimpour, M. Khalili, A. 2013. Spatial changes of extended De Martonne climatic zones affected by climate change in Iran. *Theor. Appl. Climatol.*, 112(3-4): 409-418.
- Türkes, M. Erlat, E. 2003. Precipitation changes and variability in Turkey linked to the North Atlantic oscillation during the period 1930–2000. *Int J Climatol.* 23:1771–1796.
- Yang, B. Brauning, A. 2007. Temperature variations on the Tibetan Plateau during the Last Millennium. *Adv. Clim. Change Res.* 3: 31-34.
- Zhang, Y., Shao, X. M., Yin, Z.-Y., Wang, Y. 2014. Millennial minimum temperature variations in the Qilian Mountains, China: evidence from tree rings, *Clim. Past*, 10, 1763-1778, doi:10.5194/cp-10-1763-2014.

Archive of SID